

## БИЭКСИТОН В СПЕКТРЕ CdS, ИНДУЦИРОВАННЫЙ ИЗЛУЧАТЕЛЬНЫЙ РАСПАД ЭКСИТОННО-ПРИМЕСНЫХ КОМПЛЕКСОВ

А. Ф. Диме, В. И. Ревенко, В. Б. Тимофеев, П. Д. Амухов

Показано, что возникающие в кристаллах CdS при низких температурах и мощном оптическом возбуждении полосы излучения, приписываемые некоторыми авторами биэкситонам и соударениям между ними, в действительности связаны с индуцированным излучательным распадом экситонно-примесных комплексов (ЭПК) с испусканием длинноволновых акустических фононов.

Недавно появился ряд работ, в которых сообщается об экспериментальном обнаружении биэкситона в спектрах рекомбинационного излучения CdS и CdSe [1–3]. При интенсивном лазерном возбуждении и достаточно низких температурах в этих кристаллах возникают несколько интенсивных полос излучения, две из которых, названные  $M$  и  $P_M$ , связываются авторами с излучательным распадом биэкситонов [1] и неупругими соударениями между ними [2]. Основная аргументация в пользу биэкситонной концепции основывалась на сверхлинейной зависимости интенсивности соответствующих полос от величины лазерной накачки, а также на анализе их формы. Следует, однако, иметь в виду, что существенная перестройка спектра излучательной рекомбинации не есть еще однозначное следствие бимолекулярного процесса в системе взаимодействующих экситонов, а может возникать в силу более тривиальной причины – индуцированных излучательных процессов.

Цель настоящего сообщения – показать, что особенности в спектре CdS, связываемые с биэкситоном, обусловлены индуцированным излучательным распадом ЭПК на нейтральных донорах и акцепторах с испусканием длинноволновых акустических фононов.

Нами исследовались различные кристаллы CdS, среди которых имелись высокочистые образцы с содержанием донорных и акцепторных примесей, ответственных за линии ЭПК  $I_2$  и  $I_1$ , не более  $(1 \pm 5) \cdot 10^{15} \text{ см}^{-3}$ , а также ряд кристаллов с различной степенью компенсации акцепторных примесей, в зависимости от которой отношение интенсивностей  $I_2$  и  $I_1$  отличалось на порядок и более.

Люминесценция возбуждалась импульсным азотным лазером (пиковая мощность  $\sim 1,6 \text{ квт}$ , частота следования 100 Гц). Разрешение по спектру было не хуже  $0,2 \text{ \AA}$  ( $10^{-4}$  эв).

На рис. 1 приведено поведение спектра люминесценции высокочистого образца CdS при  $T = 1,3^\circ\text{K}$  с ростом накачки (наблюдение под углом  $45^\circ$  к возбуждаемой поверхности, размер лазерного пятна на кристалле  $\sim 0,2 \text{ мм}$ ). Здесь  $M$  и  $P_M$  – полосы, для которых мы сохранили обозначения, использованные в [1] и [2],  $A$  и  $A-LO$  – полосы прямой излучательной аннигиляции экситона и с испусканием  $LO$ -фона,  $I_2$  и  $I_1$  – бесфоновые линии ЭПК,  $P$  – полоса излучения, обя-

занная неупругим соударениям двух свободных экситонов [4, 5]. В дальнейшем сконцентрируем внимание на свойствах полос  $M$  и  $P_M$ .

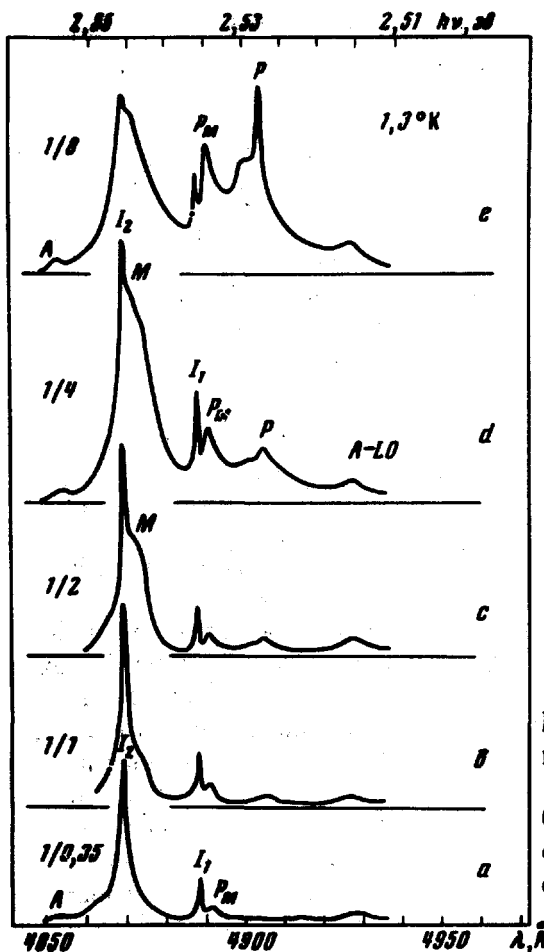


Рис. 1. Спектр люминесценции CdS при  $T = 1,3^\circ\text{K}$  и различных плотностях мощности оптического возбуждения:  $a - 3,5 \cdot 10^3 \text{ см} \cdot \text{см}^{-2}$ ;  $e - 1,4 \cdot 10^4 \text{ см} \cdot \text{см}^{-2}$ ;  $c - 4,2 \cdot 10^4 \text{ см} \cdot \text{см}^{-2}$ ;  $d - 2,1 \cdot 10^5 \text{ см} \cdot \text{см}^{-2}$ ;  $b - 5,4 \cdot 10^5 \text{ см} \cdot \text{см}^{-2}$

1. В нескомпенсированных кристаллах полоса  $P_M$  отчетливо наблюдается уже в спектрах спонтанной люминесценции при низких уровнях возбуждения (рис. 1, спектры  $a$ ,  $b$ ) и представляет собой стоксово акустическое крыло бесфоновой линии  $I_1$  (переходы с испусканием длинноволновых акустических TA-фононов) [6, 7]. Максимум этого крыла совпадает с позицией линии  $P_M$ , приводимой в [2]. Сверхлинейный рост интенсивности  $P_M$  начинается при накачках  $\sim 5 \cdot 10^4 \text{ см} \cdot \text{см}^{-2}$ . При определенных геометрии возбуждения и величине накачек (см. ниже) в нескомпенсированных кристаллах полоса  $P_M$  может оказаться преобладающей по интенсивности в спектре. В кристаллах с компенсированными (примерно на порядок) акцепторами полоса  $P_M$  возникает и сверхлинейно растет только при высоких уровнях возбуждения ( $> 10^5 \text{ см} \cdot \text{см}^{-2}$ ). В сильно скомпенсированных кристаллах полоса  $P_M$  отсутствует вплоть до уровней возбуждения, разрушающих кристалл.

2. Полоса  $M$ , в противоположность  $P_M$ , практически отсутствует в спектрах спонтанной люминесценции (рис. 1, спектр  $a$ ). Ее появление в спектре, сопровождающееся сверхлинейным ростом интенсивности,

происходит в узком динамическом диапазоне накачек ( $10^3 - 10^4$   $\text{см} \cdot \text{см}^{-2}$ ). При дальнейшем росте накачки интенсивность линии  $M$  ведет себя линейно, подобно  $I_2$  и  $I_1$ , вплоть до полного насыщения интенсивности (насыщения концентрации ЭПК).

Прежде всего укажем на тесную связь между линиями  $I_2$  и  $M$ . Они обладают (подобно линиям  $I_1$  и  $P_M$ ) одинаковой степенью поляризации ~95% (переходы дипольно-разрешенные с  $E \perp C$ ). В магнитном поле  $H \perp C$  величины расщеплений полос  $I_2$  и  $M$  практически совпадают (при  $H = 40$  кэ величина расщепления  $\delta E \sim 0,4$  мэв).

Далее, что наиболее существенно, для полос  $I_2$  и  $M$  наблюдается одинаковый "химический" сдвиг положения в спектре (в пределах 1,5 мэв), обусловленный различной природой мелких доноров (например, J, Cl, и AL), ответственных за ЭПК  $I_2$  [8].

С увеличением температуры при фиксированной накачке полоса  $M$  не затухает, как это следовало бы ожидать вследствие термодиссоциации биэкситонов. Вплоть до 20°К ее максимальная интенсивность сохраняется практически неизменной и лишь растет ее ширина (см. рис. 2).

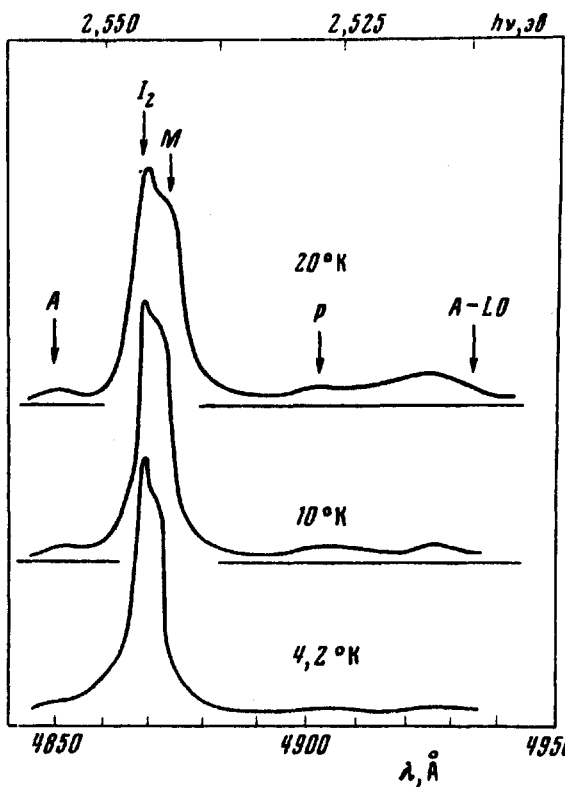


Рис. 2. Спектр люминесценции CdS в области структуры  $I_2 - M$  при фиксированной накачке  $\sim 10^4$   $\text{см} \cdot \text{см}^{-2}$  и различных температурах. Кристалл с скомпенсированными акцепторами

Наконец, отметим, что форма полосы  $M$  изменяется от образца к образцу, а зависимость ее интенсивности от накачки не является квадратичной функцией концентрации свободных экситонов, как это следовало бы из представлений о бимолекулярном процессе.

Таким образом, перечисленные выше свойства полосы  $M$  противоречат концепции биэкситона, либо сложного поли-ЭПК (два или несколько экситонов, связанных с центром). Мы полагаем, что полоса  $M$ ,

так же как и  $P_M$ , имеет электронно-колебательное происхождение и возникает вследствие излучательного распада ЭПК  $I_2$  с испусканием длинноволновых акустических фононов.

3. В заключение покажем, что наблюдающиеся сверхлинейные зависимости интенсивности полос  $M$  и  $P_M$  от величины накачки являются следствием индуцированных процессов излучательного распада ЭПК  $I_2$  и  $I_1$  с испусканием длинноволновых акустических фононов. На рис. 3

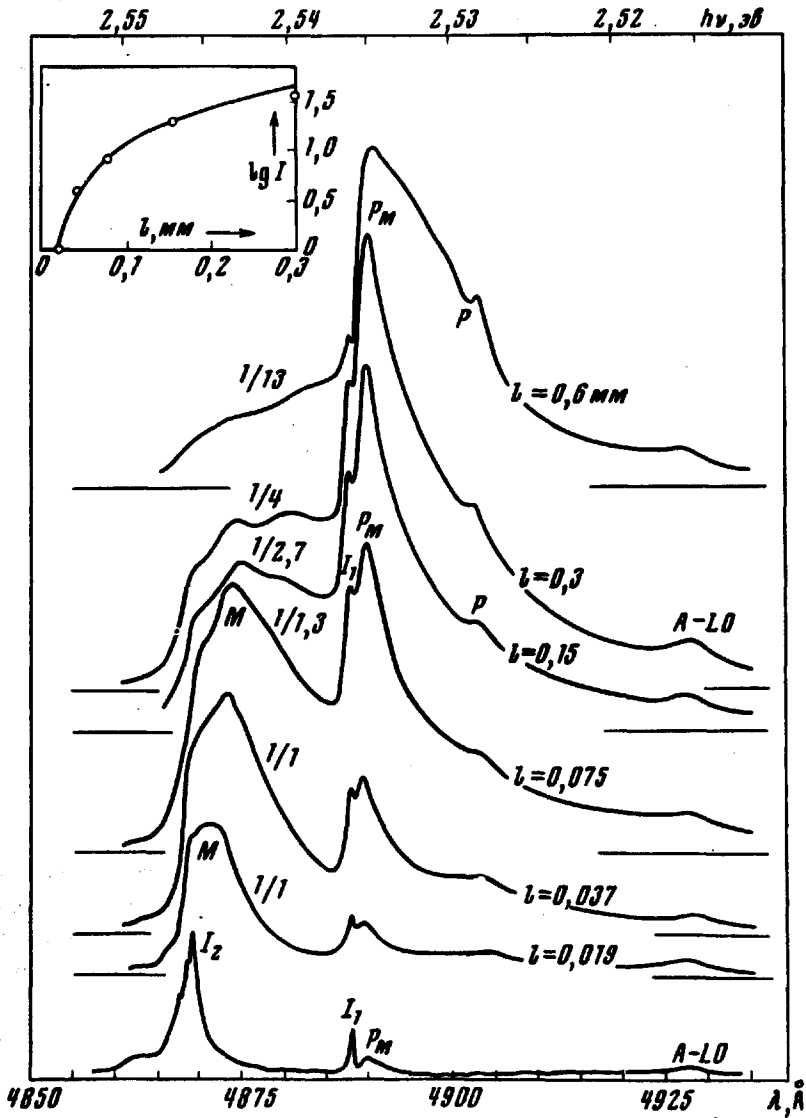


Рис. 3. Распределение в спектре люминесценции CdS при  $T = 1,3^{\circ}\text{K}$  и фиксированной накачке  $\sim 2 \cdot 10^5 \text{ см} \cdot \text{см}^{-2}$  в зависимости от длины  $l$  прокачиваемой области кристалла. Внизу спектр спонтанной люминесценции при возбуждении ртутной лампой

представлена трансформация спектра люминесценции при фиксированной накачке ( $G \sim 2 \cdot 10^5 \text{ см} \cdot \text{см}^{-2}$ ) и изменении лишь длины  $l$  полоски (ширины  $\sim 20 \text{ мкм}$ ), в которую цилиндрической линзой фокусируется

возбуждающее излучение. Наблюдение при этом ведется вдоль направления изменяемой длины  $\ell$  и нормально возбуждающему пучку ( $\ell \parallel c$ ,  $c$  — ось кристалла). При изменении  $\ell$  интенсивности полос  $M$  и  $P_M$  ведут себя сверхлинейно. Наиболее отчетливо это видно при сравнении полосы  $P_M$  с бесфононной линией  $I_1$ , которая растет линейно с  $\ell$  и не испытывает реабсорбции вплоть до  $\ell \sim 200 \text{ мкм}$ . Заметим, что в этих условиях линия  $I_2$  сильно реабсорбирована уже начиная с  $\ell \sim 75 \text{ мкм}$ . При накачках вплоть до  $G \sim 2 \cdot 10^5 \text{ ст} \cdot \text{см}^{-2}$  мы не наблюдали индуцированной люминесценции для бесфононных линий  $I_2$  и  $I_1$  (т. е. инверсионная населенность в двухуровневой системе ЭПК — нейтральный донор или акцептор еще отсутствует).<sup>1</sup>

На вставке к рис. 3 представлена зависимость интенсивности в максимуме  $P_M$  ( $\lambda = 4889,9 \text{ \AA}$ ) в координатах  $\lg I - \ell$ , из которой легко определяется коэффициент усиления [9, 10]. Сплошная кривая — результат аппроксимации при значении коэффициента усиления  $a = 240 \text{ см}^{-1}$ . В области  $M$ -полосы (для  $\lambda = 4875 \text{ \AA}$ ) коэффициент усиления достигает величины  $a \sim 300 \text{ см}^{-1}$ . Столь большие коэффициенты усиления в полосах  $M$  и  $P_M$  — следствие гигантских вероятностей излучательного распада ЭПК (порядка  $w_R > 10^9 \text{ сек}^{-1}$ ) [11, 12]. Низкий порог индуцированной люминесценции в полосах  $M$  и  $P_M$  связан с тем, что соответствующие им оптические переходы имеют электронно-колебательное происхождение и соответствуют известной в лазерной физике четырехуровневой системе.

Институт физики твердого тела  
Академии наук СССР

Поступила в редакцию  
4 октября 1973 г.

### Литература

- [1] S.Shionoya, H.Saito, E.Hanamura, O.Akimoto. Solid State Commun., 12, 223, 1973.
- [2] H.Saito, S.Shionoya, E.Hanamura. Solid State Commun., 12, 227, 1973.
- [3] H.Kuroda, S.Shionoya, H.Saito, E.Hanamura. Solid State Commun., 12, 53 533, 1973.
- [4] Claude Benoit a la Guillaume, J.-M. Debever, F.Salvan. Phys. Rev., 177, 567, 1969.
- [5] D.Magde, H.Mahr. Phys. Rev. Lett., 24, 890, 1970.
- [6] J.J.Nopfield. Report of the International Conference on the Physics of Semiconductors, Exeter, 1962. Institute of Physics and the Physical Society, London, 1962, p. 75.
- [7] Е.Ф.Гросс, С.А.Пермогоров, Б.С.Разбираин. ДАН СССР, 154, 1306, 1964.
- [8] D.G.Thomas, R.Dingle, J.D.Cuthbert, II—VI Semiconducting Compounds 1967. Int. Conf. (W.A.Benjamin 1967), p.863.
- [9] K.L.Shaklee, R.F.Leheny. Appl. Phys. Lett., 18, 475, 1971.
- [10] П.Д.Алтухов, А.Ф.Дите, В.И.Ревенко, В.Б.Тимофеев, В.М.Файн. Письма в ЖЭТФ, 16, 291, 1972.
- [11] C.H.Henry, K.Nassau. Phys. Rev., B1, 1628, 1970.
- [12] В.Б.Тимофеев, Т.Н.Яловец. ФТТ, 14, 481, 1972.